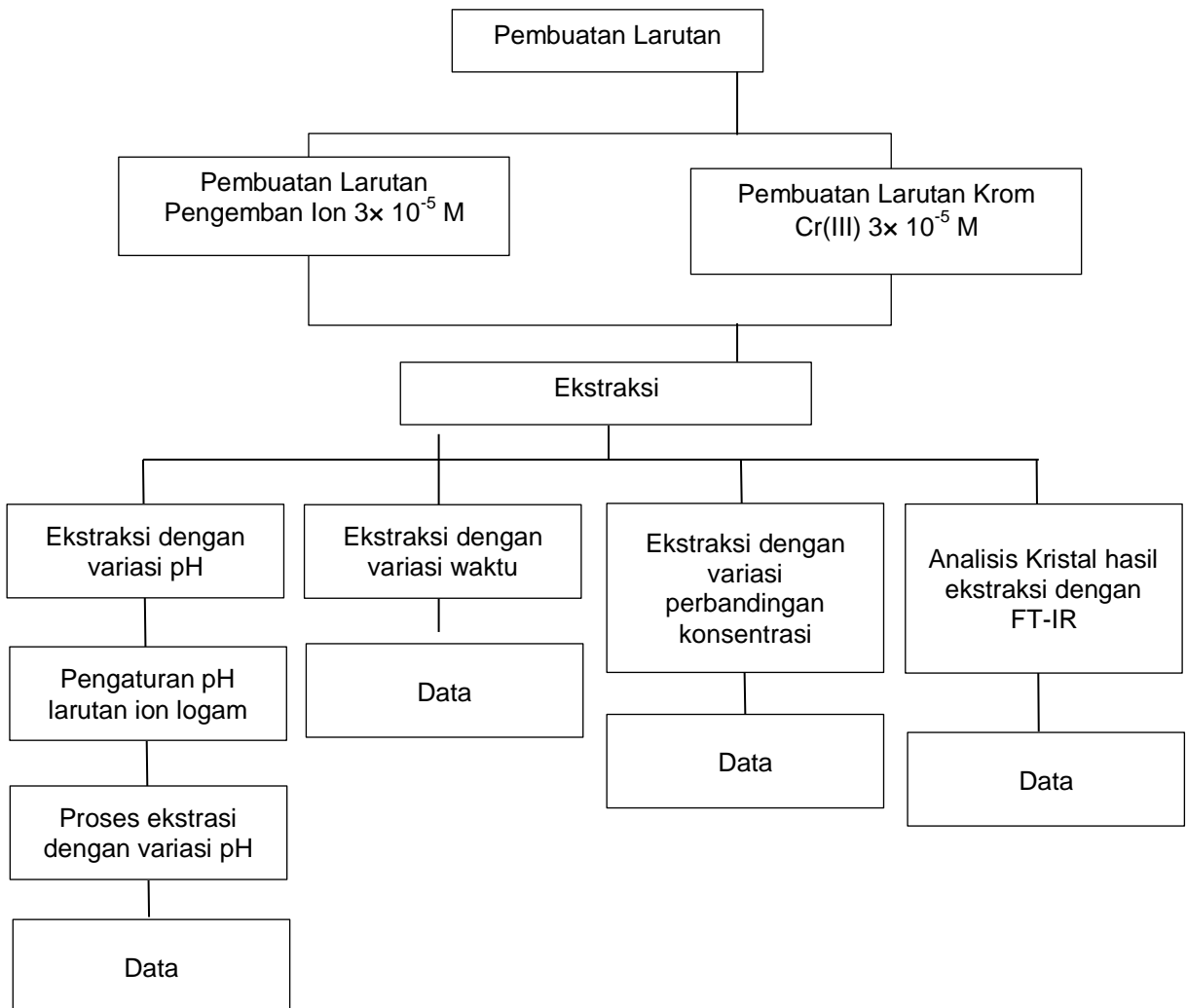


DAFTAR PUSTAKA

- Adhikari, B.B., Gurung M., Chetry,A.B., Kawakita, H., Ohto, K., 2013, Highly Selective and Efficient Extraction of Two Pb²⁺ Ions with A P-Tert-Butylcalix[6]Arene Hexacarboxylic Acid Ligand: an Allosteric Effect In Extraction, *The Royal Society Of Chemistry*, **3**:25950-25959.
- Asmadi dan Suharno, 2012, Dasar-Dasar Teknologi Pengolahan Air Limbah, Gosyen Publishing, Yogyakarta.
- Beasley, M.M., Bartelink, E.J., Tailor, L. and Miller, R.M., 2014, Comparison of Transmission FT-IR, ATR, and DRIFT Spectra: Implications for Assesment of Bone Biopatite Diagnosis, *Journal Of Archaeological Science*, **46(1)**: 16-22.
- Berniyanti, T., 2018, *Biomarker Toksisitas Paparan Logam Tingkat Molekuler*, Airlangga University Press, Surabaya.
- Budiaستuti, P., Raharjo, M., Astorina, N., an Dewanti, Y., 2016, Analisis Pencemaran Logam Berat Timbal di Badan Sungai Babon Kecamatan Genuk Semarang, *Jurnal Kesehatan Masyarakat*, **4(5)**:2356-3346.
- Busroni, 2017, Sintesis dan Karakteristik Senyawa C-4-Phenil-mono (etoksi-karbonilmekton)-Kaliks[4]resorcinarena, *Skripsi*, Universitas Jember, Fakultas Matematika dan Ilmu Pengetahuan Alam, Jember.
- Bohmer, V., 1995, Calixarenes, Macrocycles with (Almost) Unlimited Possibilities, *Angewandte Chemie International Edition in English*, **31**; 713-745
- Chao, J.C., Hong, A., Okey, R.W., dan Peters, R.W., 1998, *Proceedin g Of Conference On Hazardous Waste Research*, Kansas State University, Manhattan.
- Darmono, 2001, Lingkungan Hidup dan Pencemaran Hubungannya dengan Toksikologi Senyawa Logam, UI-Press, Jakarta.
- Firdaus, 2016, *Buku Ajar: Teknik Laboratorium Kimia Organik*, Universitas Hasanuddin, Makassar.
- Gutsche, C.D., 1998b, *Calixarenes Revised*, The Royal Society of Chemistry (Series Editor: J. Fraser Stoddart, FSR), USA.
- Jain, V.K., Pillai, S.G., Pandya, R.A., Agrawal, Y.K., dan Shrivastav, P.S., 2005, Selective Extraktion, Preconcentration, and Transport Studies of Thorium(Iv) Using Octa-Functionalized Calix[4]Resorcinarene-Hydroamic Acid, *Anal/sci*, **21(2)**; 129-135.
- Jolly, W.L., 1991, *Modern Inorganic Chemistry*,2nd ed, McGraw-Hill. Inc, New York.

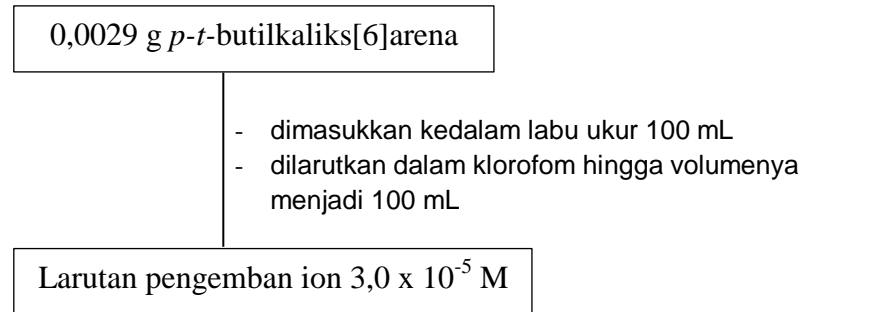
- Kar, D., Sur, P., Mandal, S.P., Saha, T., dan Kole, K.R., 2008. Assessment of Heavy Metal Pollution in Surface Water, *International Journal on Environment, Science and Technology*, **5(1)**; 119-124.
- Leba, M. A. U., 2017, *Ekstraksi dan Real Kromatografi*, Deepublish, Yogyakarta.
- Lehn, J.M., 1997, Supramolecular Chemistry-Scope and Perspective. Molecules, Supermolecules, and Molecular Devices, *Angew Chem. Int. Ed. Engl.*, **27(1)**; 89-112.
- Maming, 2008, Transpor Cr(III), Cd(II), Pb(II), dan Ag(I) Melalui Membran Cair Ruah yang Mengandung Turunan Karboksilat, Ester dan Amida *p-t*-Butikalis[4]arena sebagai Pengembang Ion, *Disertasi*, Universitas Gadjah Mada, Yogyakarta.
- Maming, Jumina, Siswanta, D., dan Sastrohamidjojo, H., 2007, Transpor Ion Cr³⁺, Cd²⁺, Pb²⁺, dan Ag⁺ Melalui Membran Cair Ruah yang Mengandung Asam *p-t*-butikalis[4]arena-tetrakarboksilat sebagai Pengembang Ion, *Indonesian Journal of Chemical*, **7(1)**; 172-179.
- Mcneice, J. and Ghahreman, A., 2017, Selective Heavy Rare Earth Element Extraction From Dilute Solution Using Ultrasonically Synthesized Cyanex 572 Oil Droplets, *Journal Of Industrial and Engineering Chemistry*, **59**: 388-402.
- Notodarmojo, S., 2005, *Pencemaran Tanah dan Air Tanah*, ITB, Bandung.
- Prabawati, S.Y., 2012, Sintesis dan Penggunaan Poli-Propikalis[6]arena Sebagai Adsorben serta Uji Aktivitasnya Sebagai Antidotum Keracunan Logam Berat, *Disertasi*, Universitas Gadjah Mada, Yogyakarta.
- Pratiwi, D.T., 2013, *Penentuan Kadar Kromium Dalam Limbah Industri Melalui Pemekatan Dengan Metode Kopresipitasi Menggunakan Cu-Pirolidin Dithiocarbamat*, Skripsi diterbitkan, Jurusan Kimia, Universitas Negeri Semarang.
- Roto, R., Indah, D.R., dan Kuncaka, A., 2015, Hydrotalsit Zn-Al-EDTA sebagai Adsorben untuk Polutan Ion Pb(II) di Lingkungan, *J.Manusia dan Lingkungan*, **22(2)**; 226-232.
- Sardjono, R., E., 2007, *Sintesis dan Penggunaan Tetramer Siklis Seri Kaliksresorsinarena, Alkoksikaliksarena, dan Alkenikkaliksarena untuk Adsorpsi Kation Logam Berat*, Universitas Gadjah Mada, Yogyakarta.
- Sembel, D.T., 2015, *Toxikologi lingkungan*, Andi Offset, Yogyakarta.
- Shinkai, S., Mori, S., Arimura, T. dan Manabe, O., 1986, "Hexasulphonatedcalix-[6]arene Derivative, A New Class of Catalyst, Susfactants, and Host Molecules", *J. Am. Chem. Soc.*, **108**; 2409-2416.

- Sliwa, W., 2002, Calixarene Complexes with Transition Metal, Lanthanide and Actinide Ions, *Croatica Chemical Acta*, **75**; 131-153.
- Soedarsono, J., Hagege, A., Burgard, M., Asfari, Z., dan Vicens, J., 1996, *Ber. Burrisenges Phys. Chem.*, **100**; 477-481.
- Thompson, T.J.U., Gauuthier, M. and Islam, M., 2009, The Application of a New Method of Fourier Transform Infrared Spectroscopy to The Analysis of Burned Bone, *Journal of Archaeological Science*, **36**(3): 910-914.
- Wirasuta, I.M.A.G., dan Niruri, R., 2006, Toksikologi Umum, Universitas Udaya, Bali.
- Zhitkovich A. (2005). Importance of chromium-DNA adducts in mutagenicity and toxicity of chromium (VI). *Chem Res Toxicol*; **18**(1); 3–11.

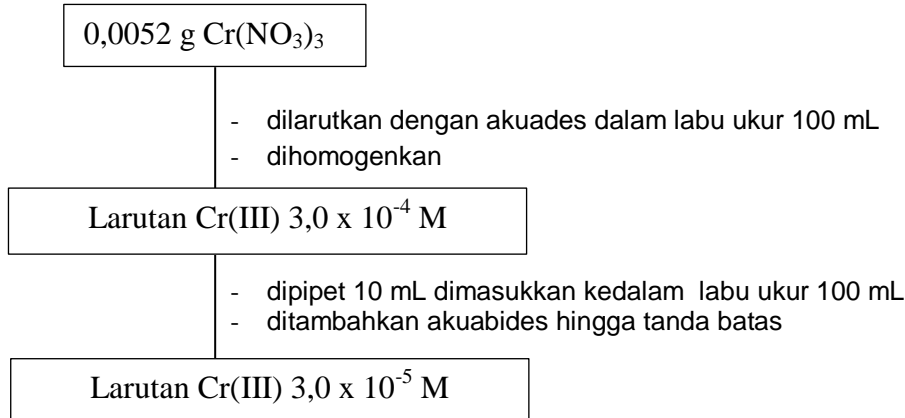
Lampiran 1. Diagram Alir

Lampiran 2. Bagan Kerja

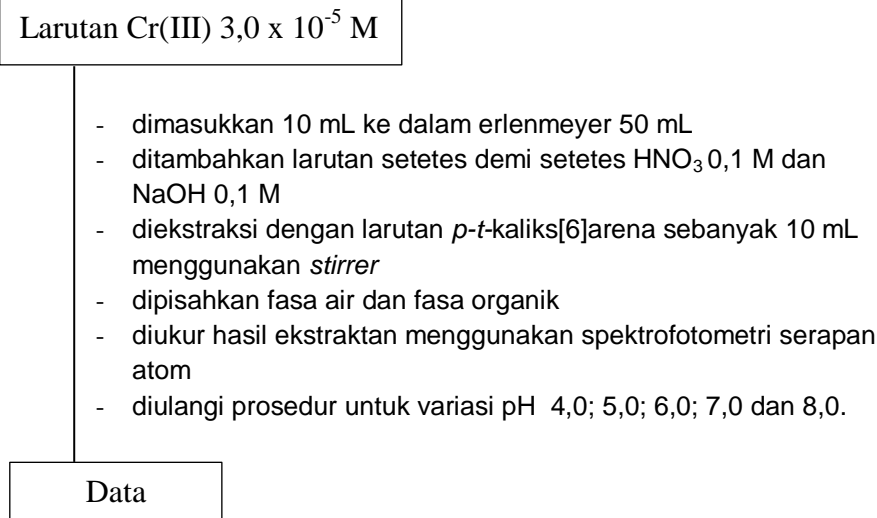
a. Pembuatan larutan pengembangan ion



b. Pembuatan Larutan Induk Cr(III) $3,0 \times 10^{-4}$



c. Ekstraksi dengan variasi pH



d. Ekstraksi dengan variasi waktu

Larutan Cr(III) $3,0 \times 10^{-5}$ M

- dimasukkan 10 mL ke dalam erlenmeyer 50 mL
- diekstraksi dengan larutan *p-t*-kaliks[6]arena sebanyak 10 mL menggunakan *stirrer* pada pH optimum selama 5 menit
- dipisahkan fasa organik
- diukur ekstrak menggunakan spektrofotometri serapan atom
- diulangi prosedur untuk variasi waktu 5, 10, 15, 20 dan 25 menit

Data

e. Pembuatan larutan Cr(III) $1,0 \times 10^{-5}$; $2,0 \times 10^{-5}$; $3,0 \times 10^{-5}$ M

Larutan Cr(III) $3,0 \times 10^{-4}$

- dipipet sebanyak 50 mL dimasukkan kedalam labu ukur 100 mL
- ditambahkan akuabides sampai tanda batas, Dihomogenkan

Larutan Cr(III) $3,0 \times 10^{-5}$ M

- dipipet sebanyak 3,33 mL dimasukkan kedalam labu ukur 100 mL
- ditambahkan akuabides sampai tanda batas, dihomogenkan

Larutan Cr(III) $2,0 \times 10^{-5}$ M

- dipipet sebanyak 1,67 mL dimasukkan kedalam labu ukur 100 mL
- ditambahkan akubides hingga tanda batas, homogenkan

Larutan Cr(III) $1,0 \times 10^{-5}$ M

f. Ekstraksi dengan variasi perbandingan konsentrasi

Larutan Cr(III) $3,0 \times 10^{-5}$ M

- dimasukkan 10 mL ke dalam erlenmeyer 50 mL
- diekstraksi dengan larutan *p-t*-kaliks[6]arena sebanyak 10 mL menggunakan *stirrer* pada pH optimum selama 15 menit
- dipisahkan fasa air dan organik
- diukur ekstrak menggunakan spektrofotometri UV-Vis 2600 Shimadzu
- diulangi prosedur untuk variasi perbandingan konsentrasi 0,33, 0,5, 2 dan 3.

Data

Analisis Kompleks *p-t*-butylkaliks[6]arena dengan ion logam Cr(III) menggunakan FT-IR

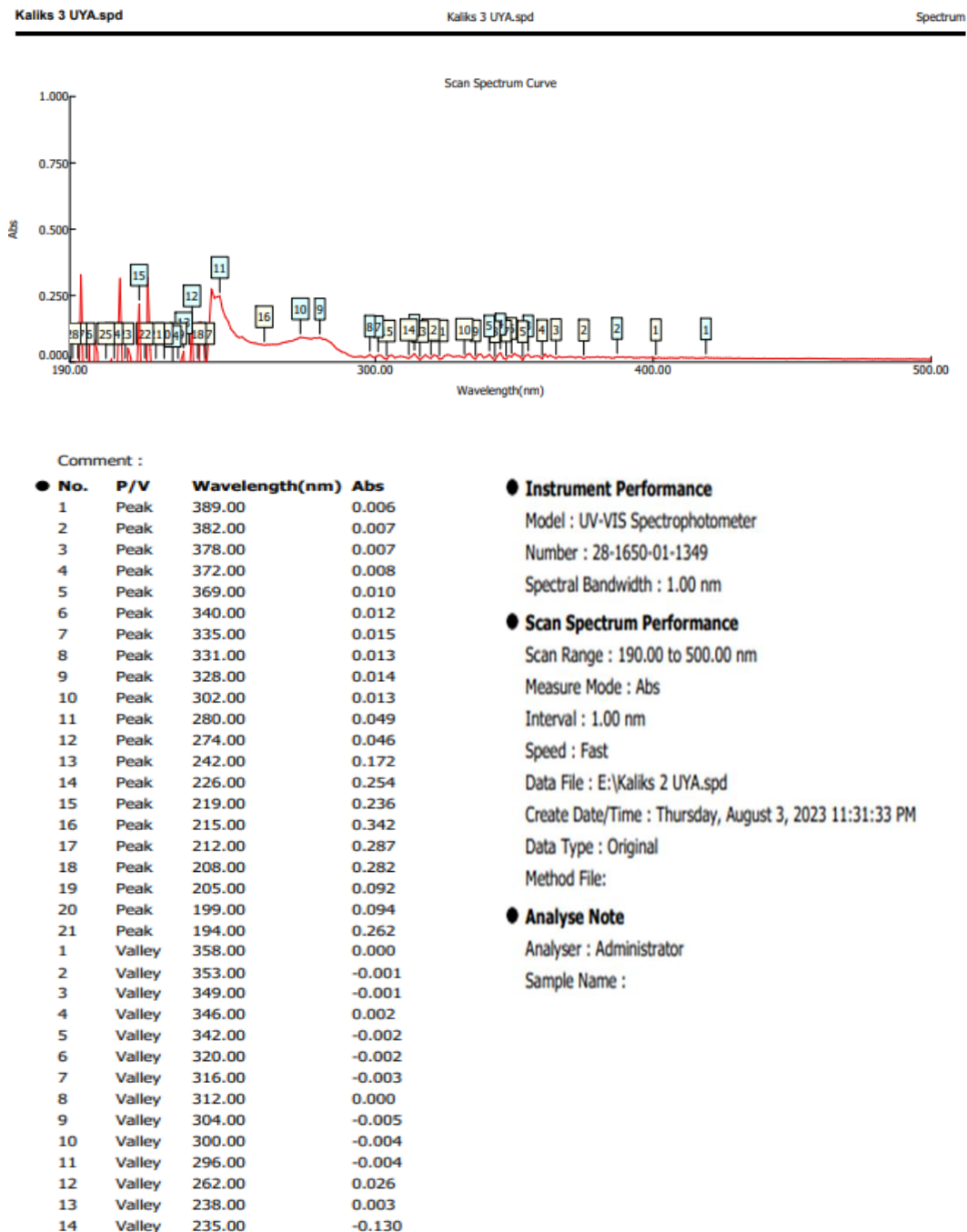
Larutan Cr(III) $3,0 \times 10^{-5}$ M

- dimasukkan 10 mL ke dalam erlenmeyer 50 mL
- diatur pH hingga 6 menggunakan HNO_3 0,1 M
- diekstraksi dengan larutan *p-t*-kaliks[6]arena sebanyak 10 mL menggunakan *stirrer* selama 10 menit
- dipisahkan fasa organik
- ditambahkan Na_2SO_4 sambil diputar secara perlahan
- didiamkan selama 10 menit
- dituang kedalam gelas kimia lain dan didiamkan hingga terbentuk kristal
- dianalisis menggunakan FT-IR Prestige-21 Shimadzu

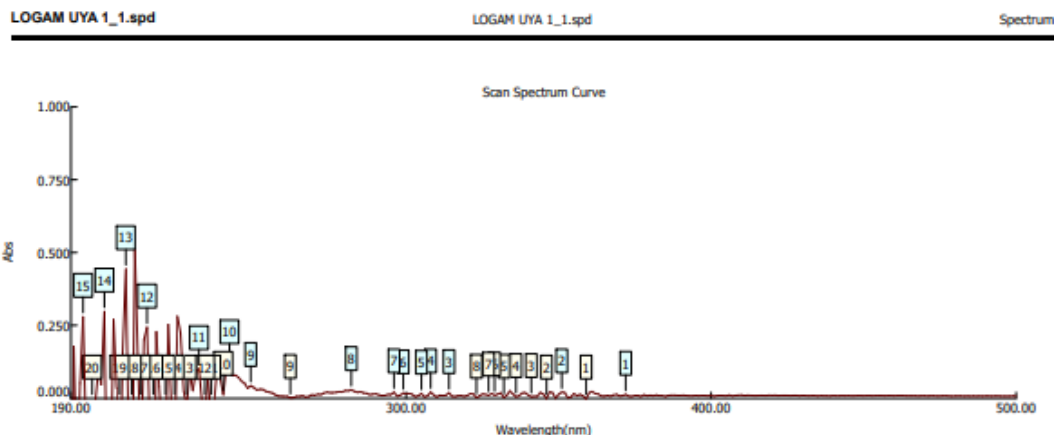
Hasil

Lampiran 3. Data Spektrum UV-Vis

1. Spektrum UV-Vis *p-t-butylkaliks[6]arena* tanpa penambahan logam



2. Spektrum UV-Vis *p-t*-butikaliks[6]arena dengan penambahan ion logam Cr(III) dengan perbandingan 1:1



Comment :

No.	P/V	Wavelength(nm)	Abs
1	Peak	372.00	0.013
2	Peak	351.00	0.021
3	Peak	314.00	0.018
4	Peak	308.00	0.021
5	Peak	305.00	0.016
6	Peak	299.00	0.017
7	Peak	296.00	0.021
8	Peak	282.00	0.029
9	Peak	249.00	0.043
10	Peak	242.00	0.121
11	Peak	232.00	0.100
12	Peak	215.00	0.243
13	Peak	208.00	0.444
14	Peak	201.00	0.298
15	Peak	194.00	0.280
1	Valley	359.00	-0.004
2	Valley	346.00	-0.001
3	Valley	341.00	0.005
4	Valley	336.00	0.005
5	Valley	332.00	0.003
6	Valley	329.00	0.011
7	Valley	327.00	0.009
8	Valley	323.00	0.002
9	Valley	262.00	0.001
10	Valley	240.00	0.012
11	Valley	236.00	-0.087
12	Valley	234.00	-0.050
13	Valley	228.00	-0.024
14	Valley	224.00	-0.207
15	Valley	221.00	-0.192
16	Valley	217.00	-0.695
17	Valley	213.00	-0.233
18	Valley	210.00	-0.489
19	Valley	206.00	-0.396
20	Valley	197.00	-0.331

● Instrument Performance

Model : UV-VIS Spectrophotometer
Number : 28-1650-01-1349
Spectral Bandwidth : 1.00 nm

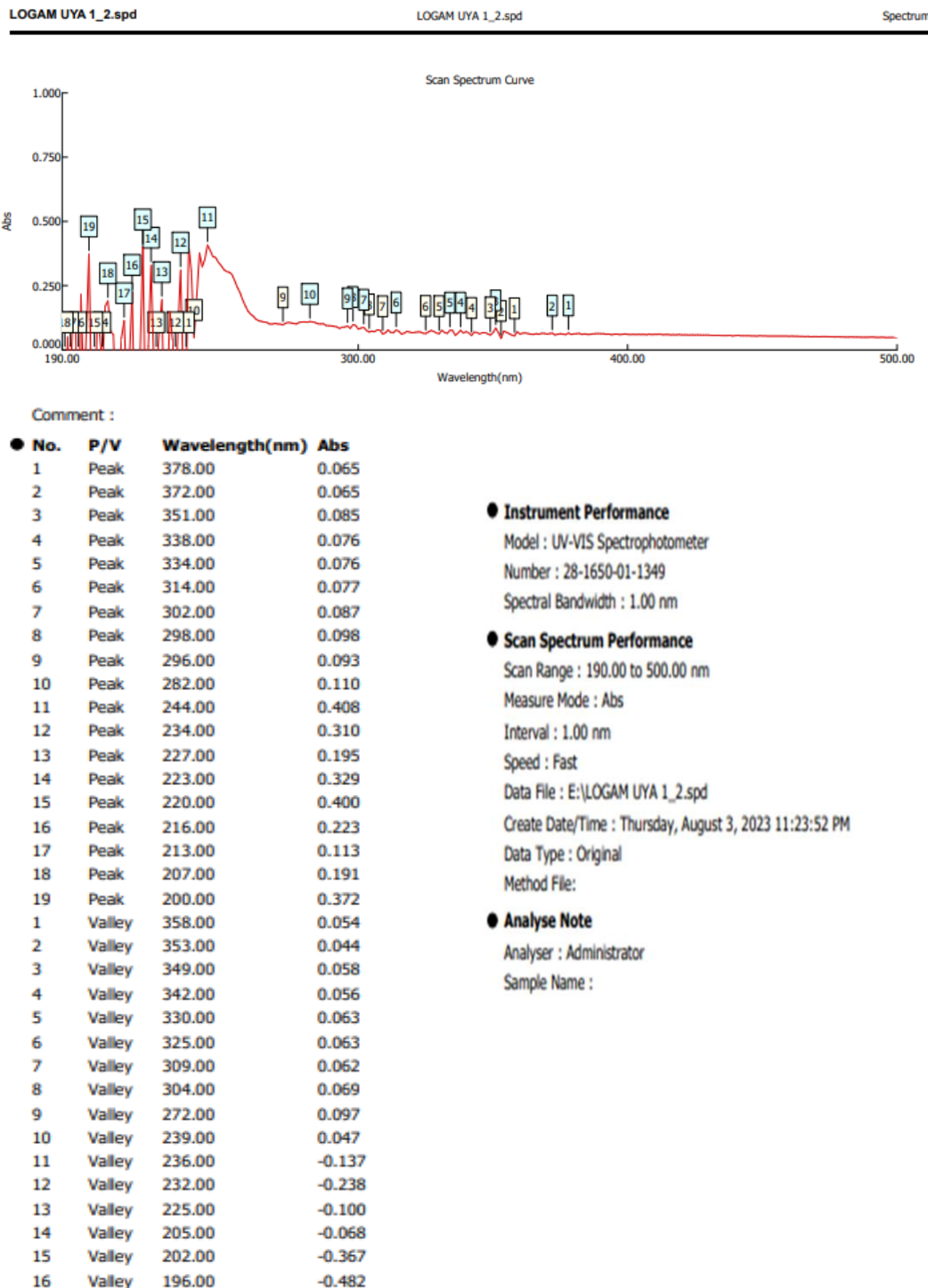
● Scan Spectrum Performance

Scan Range : 190.00 to 500.00 nm
Measure Mode : Abs
Interval : 1.00 nm
Speed : Fast
Data File : E:\LOGAM UYA 1_1.spd
Create Date/Time : Thursday, August 3, 2023 11:22:03 PM
Data Type : Original
Method File:

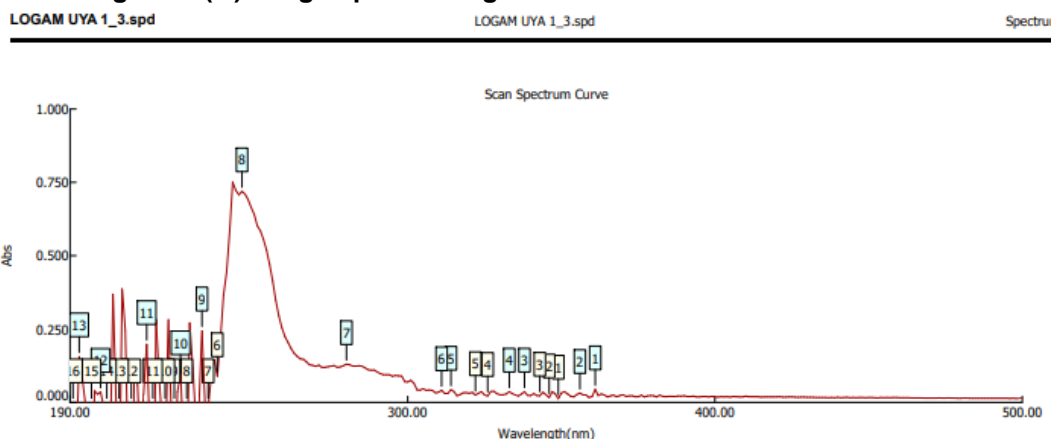
● Analyse Note

Analyser : Administrator
Sample Name :

3. Spektrum UV-Vis *p-t*-butikaliks[6]arena dengan penambahan ion logam Cr(III) dengan perbandingan 1:2



4. Spektrum UV-Vis *p-t*-butikaliks[6]arena dengan penambahan ion logam Cr(III) dengan perbandingan 1:3



Comment :

No.	P/V	Wavelength(nm)	Abs
1	Peak	361.00	0.044
2	Peak	356.00	0.032
3	Peak	338.00	0.036
4	Peak	333.00	0.036
5	Peak	314.00	0.043
6	Peak	311.00	0.041
7	Peak	280.00	0.130
8	Peak	246.00	0.720
9	Peak	233.00	0.245
10	Peak	226.00	0.096
11	Peak	215.00	0.198
12	Peak	200.00	0.036
13	Peak	193.00	0.156
1	Valley	349.00	0.012
2	Valley	346.00	0.016
3	Valley	343.00	0.022
4	Valley	326.00	0.021
5	Valley	322.00	0.024
6	Valley	238.00	0.089
7	Valley	235.00	-0.020
8	Valley	228.00	-0.258
9	Valley	224.00	-0.342
10	Valley	221.00	-0.243
11	Valley	217.00	-0.647
12	Valley	210.00	-0.531
13	Valley	206.00	-0.343
14	Valley	202.00	-0.595
15	Valley	197.00	-0.394
16	Valley	191.00	-0.488

● Instrument Performance

Model : UV-VIS Spectrophotometer
Number : 28-1650-01-1349
Spectral Bandwidth : 1.00 nm

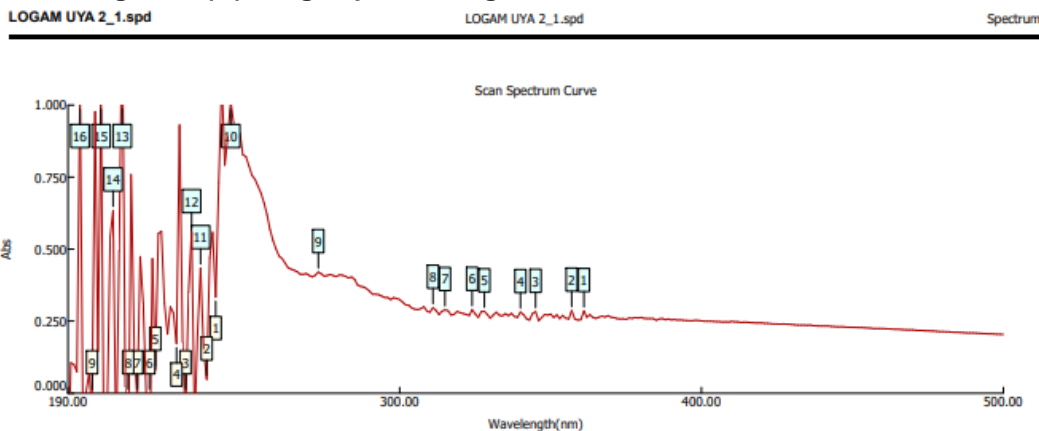
● Scan Spectrum Performance

Scan Range : 190.00 to 500.00 nm
Measure Mode : Abs
Interval : 1.00 nm
Speed : Fast
Data File : E:\LOGAM UYA 1_3.spd
Create Date/Time : Thursday, August 3, 2023 11:25:47 PM
Data Type : Original
Method File:

● Analyse Note

Analyser : Administrator
Sample Name :

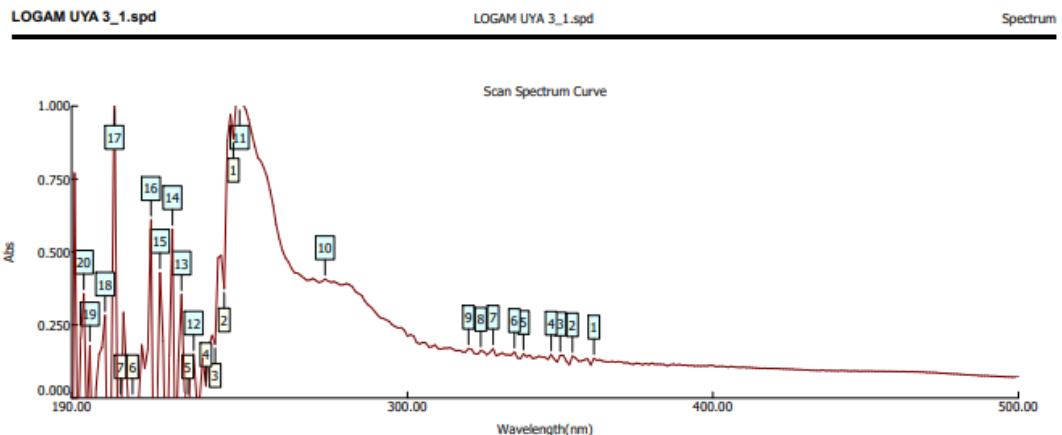
5. Spektrum UV-Vis *p-t*-butikaliks[6]arena dengan penambahan ion logam Cr(III) dengan perbandingan 2:1



Comment :

● No.	P/V	Wavelength(nm)	Abs	● Instrument Performance
1	Peak	361.00	0.286	Model : UV-VIS Spectrophotometer
2	Peak	357.00	0.287	Number : 28-1650-01-1349
3	Peak	345.00	0.283	Spectral Bandwidth : 1.00 nm
4	Peak	340.00	0.282	
5	Peak	328.00	0.284	● Scan Spectrum Performance
6	Peak	324.00	0.289	Scan Range : 190.00 to 500.00 nm
7	Peak	315.00	0.289	Measure Mode : Abs
8	Peak	311.00	0.297	Interval : 1.00 nm
9	Peak	273.00	0.420	Speed : Fast
10	Peak	244.00	1.014	Data File : E:\LOGAM UYA 2_1.spd
11	Peak	234.00	0.435	Create Date/Time : Thursday, August 3, 2023 11:20:10 PM
12	Peak	231.00	0.560	Data Type : Original
13	Peak	208.00	1.345	Method File:
14	Peak	205.00	0.634	● Analyse Note
15	Peak	201.00	1.011	Analyser : Administrator
16	Peak	194.00	1.038	Sample Name :
1	Valley	239.00	0.334	
2	Valley	236.00	0.047	
3	Valley	229.00	-0.091	
4	Valley	226.00	0.172	
5	Valley	219.00	0.081	
6	Valley	217.00	-0.354	
7	Valley	213.00	-0.024	
8	Valley	210.00	-0.285	
9	Valley	198.00	-0.055	

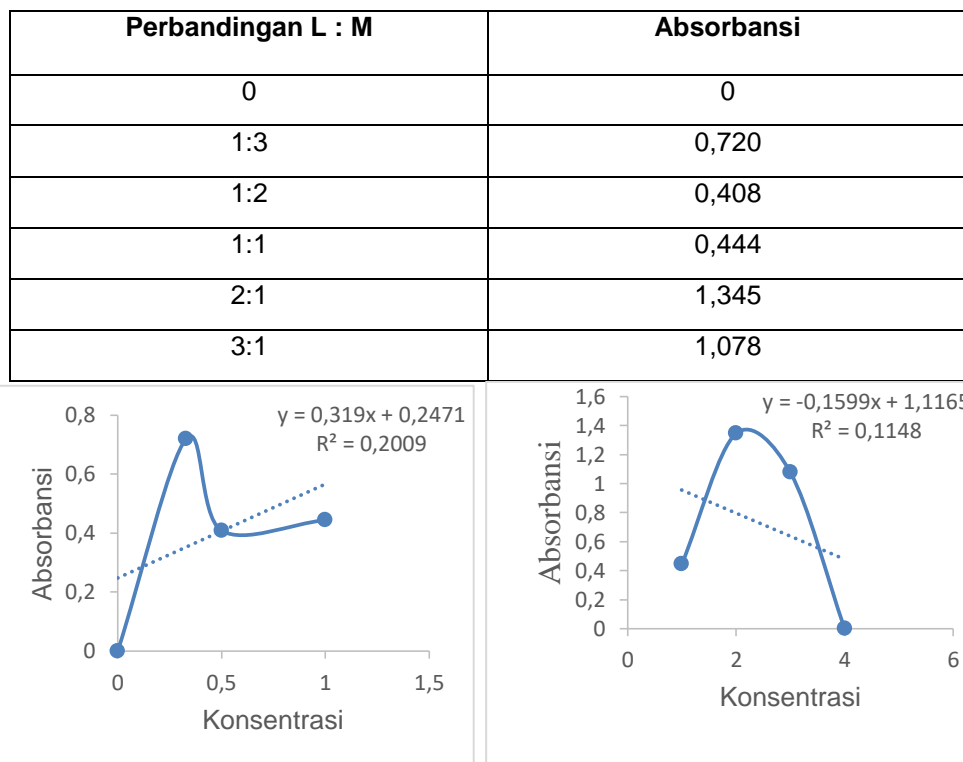
6. Spektrum UV-Vis *p-t*-butikaliks[6]arena dengan penambahan ion logam Cr(III) dengan perbandingan 3:1



Comment :

● No.	P/V	Wavelength(nm)	Abs	● Instrument Performance
1	Peak	361.00	0.135	Model : UV-VIS Spectrophotometer
2	Peak	354.00	0.143	Number : 28-1650-01-1349
3	Peak	350.00	0.146	Spectral Bandwidth : 1.00 nm
4	Peak	347.00	0.149	
5	Peak	338.00	0.151	● Scan Spectrum Performance
6	Peak	335.00	0.158	Scan Range : 190.00 to 500.00 nm
7	Peak	328.00	0.169	Measure Mode : Abs
8	Peak	324.00	0.162	Interval : 1.00 nm
9	Peak	320.00	0.169	Speed : Fast
10	Peak	273.00	0.407	Data File : E:\LOGAM UYA 3_1.spd
11	Peak	245.00	1.061	Create Date/Time : Thursday, August 3, 2023 11:17:46 PM
12	Peak	230.00	0.149	Data Type : Original
13	Peak	226.00	0.354	Method File:
14	Peak	223.00	0.579	● Analyse Note
15	Peak	219.00	0.430	Analyser : Administrator
16	Peak	216.00	0.610	Sample Name :
17	Peak	204.00	1.078	
18	Peak	201.00	0.283	
19	Peak	196.00	0.180	
20	Peak	194.00	0.358	
1	Valley	243.00	0.888	
2	Valley	240.00	0.375	
3	Valley	237.00	0.184	
4	Valley	234.00	0.041	
5	Valley	228.00	-0.197	
6	Valley	210.00	-0.128	
7	Valley	206.00	-0.169	

Lampiran 4. Perbandingan konsentrasi *p-t*-butilkaliks[6]arena dan ion logam



$$Y_{(1)} = 0,319x + 0,2471$$

$$Y_{(2)} = -0,1599x - 1,1165$$

$$Y_{(1)} = Y_{(2)}$$

$$0,319x + 0,2471 = -0,1599x - 1,1165$$

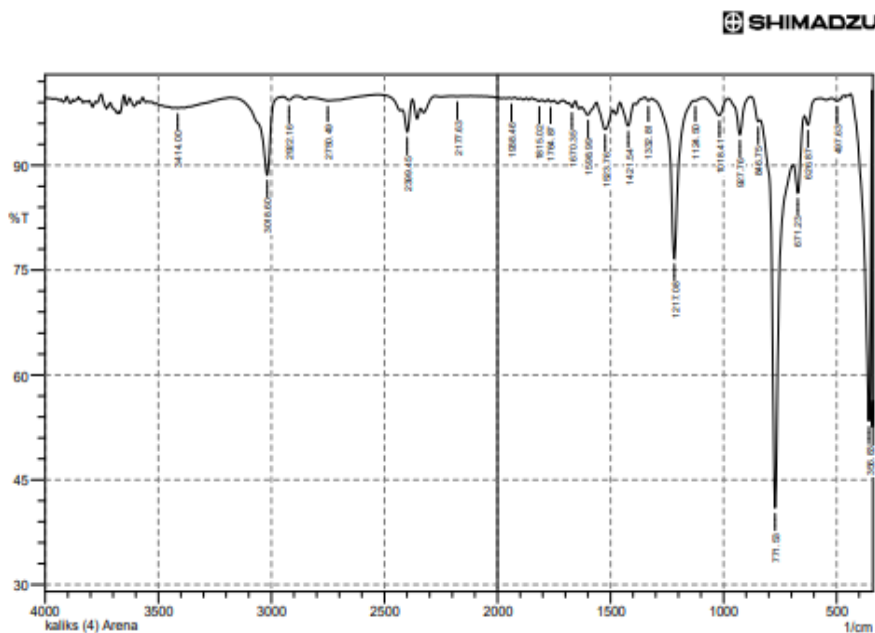
$$0,319 + 0,1599x = 1,1165 - 0,2471$$

$$0,4789x = 0,8694$$

$$x = 1,8154$$

Lampiran 5. Data Hasil FT-IR

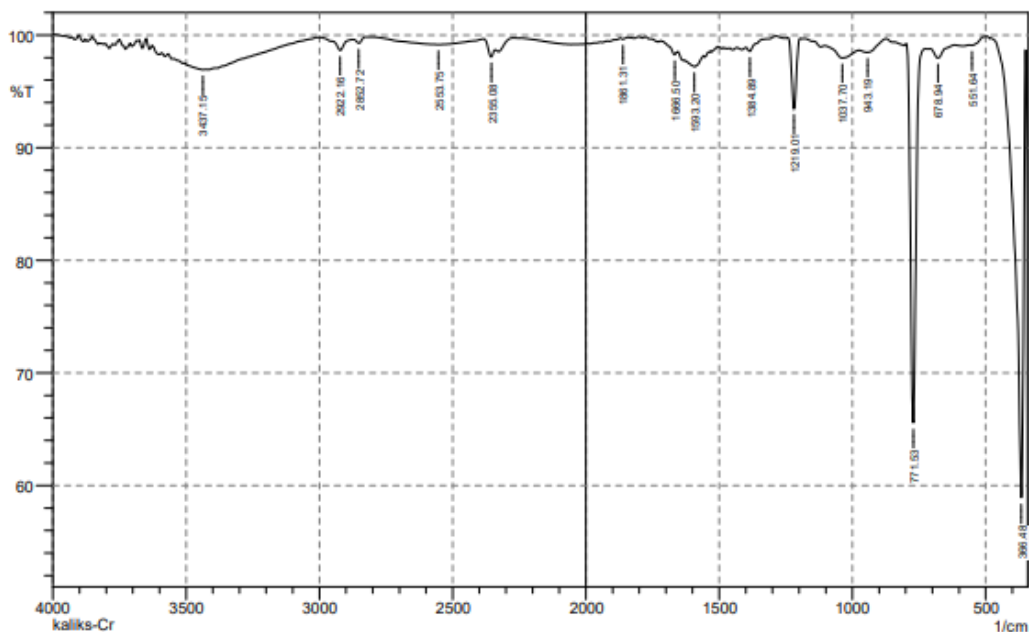
1. FT-IR *p-t-butylkaliks[6]arena*



No.	Peak	Intensity	Corr. Intensity	Base (H)	Base (L)	Area	Corr. Area
1	356.83	53.388	38.237	435.91	345.26	8.078	6.081
2	497.63	99.22	0.278	520.78	484.13	0.099	0.023
3	626.87	95.785	1.81	642.3	569	0.58	0.04
4	671.23	86.054	6.778	690.52	642.3	2.061	0.686
5	771.53	40.979	52.576	837.11	692.44	15.064	10.61
6	846.75	96.287	0.945	879.54	837.11	0.384	0.036
7	927.76	94.388	5.309	977.91	879.54	0.86	0.729
8	1018.41	97.147	2.464	1087.85	977.91	0.674	0.496
9	1124.5	99.234	0.099	1132.21	1087.85	0.106	0.004
10	1217.08	76.672	22.731	1317.38	1132.21	5.001	4.528
11	1332.81	99.244	0.412	1348.24	1317.38	0.072	0.026
12	1421.54	95.669	3.238	1458.18	1394.53	0.746	0.446
13	1523.76	95.174	3.229	1560.41	1490.97	1.033	0.552
14	1598.99	97.233	1.378	1627.92	1560.41	0.6	0.203
15	1670.35	98.323	0.749	1685.79	1654.92	0.172	0.047
16	1764.87	99.087	0.265	1776.44	1751.36	0.086	0.015
17	1815.02	99.197	0.235	1847.81	1803.44	0.121	0.025
18	1938.46	99.566	0.124	1948.1	1923.03	0.039	0.006
19	2177.63	99.881	0.036	2202.71	2142.91	0.026	0.004
20	2399.45	94.791	3.866	2420.66	2376.3	0.608	0.354
21	2750.49	99.257	0.585	2829.57	2522.89	0.45	0.361
22	2922.16	99.335	0.524	2947.23	2887.44	0.092	0.057
23	3018.6	88.638	11.147	3178.69	2949.16	2.855	2.616
24	3414	98.197	0.066	3423.65	3396.64	0.209	0.004

2. FT-IR *p-t*-butylkaliks[6]arena penambahan ion logam Cr(III)

 SHIMADZU



No.	Peak	Intensity	Corr. Intensity	Base (H)	Base (L)	Area	Corr. Area
1	366.48	58.897	39.864	480.28	351.04	7.802	7.334
2	551.64	99.091	0.158	563.21	495.71	0.165	0.018
3	678.94	97.974	0.914	707.88	617.22	0.555	0.139
4	771.53	65.544	33.501	796.6	727.16	4.093	3.785
5	943.19	98.477	0.505	975.98	873.75	0.498	0.127
6	1037.7	97.966	0.878	1103.28	975.98	0.871	0.232
7	1219.01	93.485	6.263	1242.16	1195.87	0.595	0.544
8	1384.89	98.55	0.526	1400.32	1338.6	0.248	0.048
9	1593.2	97.2	0.756	1627.92	1558.48	0.756	0.133
10	1666.5	98.255	0.446	1716.65	1654.92	0.301	0.032
11	1861.31	99.636	0.126	1870.95	1843.95	0.034	0.007
12	2355.08	98.074	0.953	2384.02	2339.65	0.239	0.079
13	2553.75	99.162	0.565	2798.71	2385.95	1.079	0.616
14	2852.72	99.287	0.417	2873.94	2825.72	0.096	0.037
15	2922.16	98.646	1.038	2995.45	2873.94	0.33	0.173
16	3437.15	96.926	0.093	3508.52	3427.51	1.024	0.033

Lampiran 6. Dokumentasi Penelitian

Pembuatan larutan pengembangan ion (*p*-*t*-butylkaliks[6]arena $3,0 \times 10^{-5}$ M



Ekstraksi menggunakan *magnetic stirrer*



Ekstraksi dengan Variasi pH



Ekstraksi dengan Variasi Waktu



Ekstraksi dengan Variasi Konsentrasi



Analisis menggunakan FT-IR
Prestige-21



Analisis menggunakan UV-Vis
2600 Shimadzu



Analisis menggunakan Spektrofotometri Serapan Atom